

## IV-247 電動三輪車の走行を考慮した歩道出入り部の横断勾配に関する研究

名城大学 正会員 高橋 政稔，学生会員 ○稻垣 成築  
オリエンタルコンサルタント 正会員 米倉 千義

## 1. はじめに

近年のわが国の高齢化の速度は、目覚ましいものがある。図1は、65歳以上の老人人口を15~64歳の生産人口で除した「老人人口指数」を示す。この老人人口指数は、厚生省の推計によると2020年頃までは毎年約0.8~1%ずつ増加し、2020年には45.2%，2050年には59.1%となるであろうといわれている。<sup>1)</sup>そこで、今後予想される超高齢社会では、高齢者の今以上の社会参加が、社会の円滑な営みのために不可欠である。ところが、人間は高齢になれば身体が衰弱し、活動が不自由になる。そこで高齢者の移動を伴う活動を補助する手段として、近年電動三輪車が普及しつつある。しかし現況の道路環境では、電動三輪車の走行の障害になることが多い、事故も発生している。そこで本研究は、電動三輪車がストレスなく走行できる道路環境とはどのようなものであるか、特に歩道出入り部の横断勾配に着目し、走行実験により明らかにすることを目的とする。

## 2. 電動三輪車による歩道出入り部走行実験

現況の道路構造では歩道幅員が十分ではなく、電動三輪車は歩道出入り部を伝って車道に降りることが少なくない。そこで、歩道出入り部通過時の作用外力とフィーリングを調査・測定し、分析することにより、走行者の心身への負担を明らかにし、道路構造の改善に役立てるものとする。

## 2-1 実験方法

走行実験は、歩道出入り部のモデル（長さ5.4m）を作成し、その上を図2のように電動三輪車で上り下りすることにより行うものとする。実験パターンは、0%, 2%, 8%, 15%の4種類の横断勾配に加えて、2種類の速度(4km/h, 6km/h)、上り、下りの計16パターンである。被験者は、20歳代の男性6名で、各パターンにつき2回ずつ、計192回走行実験を行った。このとき、電動三輪車に作用する加速度をひずみゲージ式加速度ピックアップで計測するとともに、各走行実験終了後、被験者にアンケート形式でフィーリング調査を行った。ここで、フィーリング調査未記入や不適切な加速度などのデータを除外し、172回分のデータを得た。フィーリング調査の項目は、速度に対する恐怖感、勾配に対する恐怖感、姿勢変化に対する恐怖感、腰への負担、その他の部位への負担、ハンドルの振れ、速度変更の必要性、後方確認の必要性、乗り心地の計9項目とする。加速度ピックアップの設定は、左右方向をx軸、前後方向をy軸、上下方向をz軸とした。計測された加速度は、物理量として数値的な理解を容易にするため、(式1)により電動三輪車の自重を乗じて作用外力に変換する。

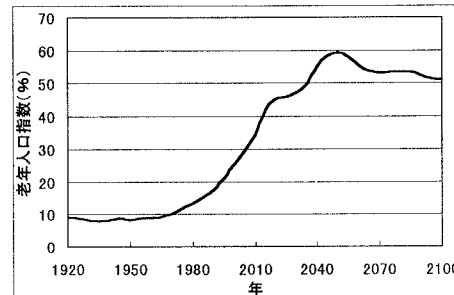


図1 日本の老人人口指数の変遷

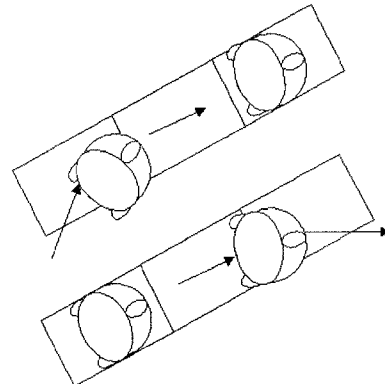


図2 歩道出入り部実験概要図

上:歩道出入り部上り走行実験

下:歩道出入り部下り走行実験

キーワード:電動三輪車、横断勾配、主成分分析

名城大学理工学部土木工学科 〒468-8502 名古屋市天白区塩釜口一丁目 501 Tel:052-832-1151

$$F=ma \quad (\text{式 } 1)$$

F:電動三輪車に加わる作用外力(kgf)

m:電動三輪車の自重(kg)

a:電動三輪車に作用した加速度の測定値(m/s<sup>2</sup>)

## 2-2 実験結果

実験より得られた作用外力の測定結果を表1に示す。これより、勾配が8%のときが最も外力の作用が少ないことがわかる。また、フィーリング調査の集計結果より、15%の勾配は被験者にかなり大きな負担となっていることがわかった。そこで、作用外力とフィーリング調査結果を総合的に判断するために、主成分分析を行った。表2、表3は、その結果である。表2より、上り下りとも第3主成分までは寄与率が0.1以上あり、また第3主成分まで累積寄与率が0.6を超えたことから、第3主成分までである程度のことは説明できると考えられる。したがって、以後の分析は第3主成分までを用いて進めることにした。また、表3より、上り下りとも、第1主成分は総合的な通行しにくさ、第2主成分は被験者に与える影響の種別（精神面か身体面か）、第3主成分は行動を起こすことができたか否かをそれぞれ示すと考えられる。図3、図4は、上り時、下り時それぞれの主成分得点プロットである。これより、勾配が8%以下のときは心身に与える影響は比較的小なものになり、走行しやすいものになることがわかる。また、下り時より上り時の負担のほうが大きいことがわかる。以上より、勾配が8%以下のとき、電動三輪車は快適に走行できるといえる。

## 3. おわりに

歩道出入り部走行実験では、8%の勾配のときには電動三輪車にかかる作用外力が最も小さくなること、15%の勾配では電動三輪車利用者にかかる負担が大きいことがわかった。また、この結果を主成分分析することによって、ストレスなく通行できる歩道出入り部の横断勾配は8%程度以下であることがわかった。したがって、今後計画、改修される道路や、高齢者、身障者がよく利用する公園、病院などに通じる歩道では、歩道出入り部の横断勾配は8%以下であることが望ましいといえる。今回の研究では勾配を4段階しか設定しなかったが、今後、さらに細かく勾配を設定して実験することにより、最適な勾配が現れるものと思われる。また、今回の研究では歩道間の出入りに着目して実験を行ったが、今後は歩道から出なくともすむような歩道の条件を見つけていくことが必要である。

## 参考文献:

- 総理府:日本統計年鑑、1997年

表1 作用外力測定結果

	上り			下り		
	x軸方向作 用外力(kgf)	y軸方向作 用外力(kgf)	z軸方向作 用外力(kgf)	x軸方向作 用外力(kgf)	y軸方向作 用外力(kgf)	z軸方向作 用外力(kgf)
0%4km/h	4.8366	6.7856	1.3968	4.4190	7.0840	1.3097
0%8km/h	5.4393	6.5523	0.8605	4.0972	5.8087	1.0077
2%4km/h	3.8244	6.3216	0.7124	3.4984	5.2965	0.7355
2%8km/h	4.6852	4.8015	0.8491	3.8802	4.2043	0.9329
8%4km/h	2.4469	5.4102	0.6771	3.8304	4.2968	0.6187
8%8km/h	4.1802	5.7220	1.1097	3.0554	5.0233	0.8410
15%4km/h	3.9161	3.8241	0.7608	4.2855	5.4225	0.6827
15%8km/h	3.9268	4.9837	0.8081	3.8500	6.2374	0.6082

表2 固有値・寄与率表

上り	固有値 寄与率 累積寄与率		
	主成分1	主成分2	主成分3
主成分1	5.2190	0.9826	0.3826
主成分2	1.7969	0.1293	0.5119
主成分3	1.4988	0.1078	0.6197

下り	固有値 寄与率 累積寄与率		
	主成分1	主成分2	主成分3
主成分1	4.7269	0.4251	0.4251
主成分2	1.5951	0.1438	0.5689
主成分3	1.3576	0.1221	0.6809

表3 主成分負荷量

上り	主成分1			主成分2			主成分3			下り	主成分1			主成分2			主成分3		
	主成分1	主成分2	主成分3	主成分1	主成分2	主成分3	主成分1	主成分2	主成分3		主成分1	主成分2	主成分3	主成分1	主成分2	主成分3	主成分1	主成分2	主成分3
x	-0.0948	-0.2165	0.5770	x	-0.0288	0.3499	0.1020												
y	-0.4919	0.0400	0.0683	y	-0.0194	0.9203	0.2888												
z	-0.0446	-0.0219	0.0663	z	-0.0444	0.0755	0.0330												
歩行(速度)	0.2899	0.5178	0.8366	歩行(速度)	0.3400	-0.0952	-0.4302												
歩行(勾配)	0.9476	0.5412	0.2762	歩行(勾配)	0.9121	-0.3626	0.0194												
歩行(姿勢)	0.9021	0.1520	-0.0742	歩行(姿勢)	0.8905	-0.1596	0.1050												
負担(運搬)	0.7359	-0.6819	0.0681	負担(運搬)	0.7423	0.3965	-0.3680												
負担(心肺)	0.8129	-0.3854	0.0167	負担(心肺)	0.7915	0.3507	-0.2458												
ハンドル操作	0.3024	-0.1148	0.1729	ハンドル操作	0.3281	-0.3744	0.0095												
速度変更	0.6609	0.7375	-0.5035	速度変更	0.6985	-0.1134	0.8842												
後方確認	1.1430	-0.2144	-0.2280	後方確認	1.0374	0.1570	0.0568												
乗り心地	0.6184	-0.2714	0.1766	乗り心地	0.5349	-0.0206	-0.2924												

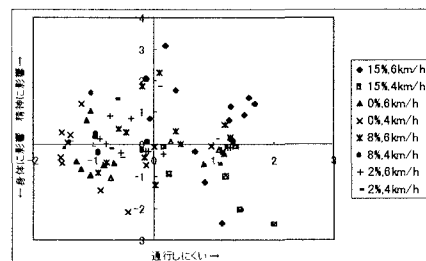


図3 歩道出入り部上り時の主成分得点プロット

(第1主成分×第2主成分)

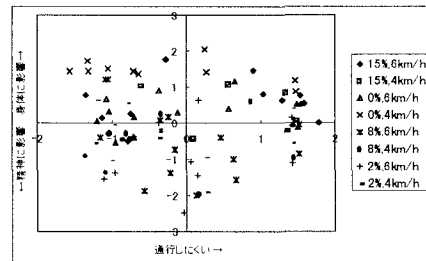


図4 歩道出入り部下り時の主成分得点プロット

(第1主成分×第2主成分)